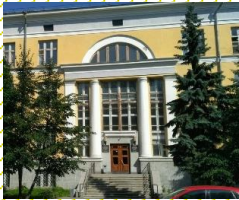


Reachable set for Dubins car and its application to observation problem with incomplete information

Patsko V. S., Fedotov A. A.



Krasovskii Institute of Mathematics and Mechanics,
Ural Branch of RAS, Ekaterinburg, Russia



Слайд 1

«Машина Дубинса» — очень популярная модель в современной математической теории управления. В студенческой лаборатории в Технионе, основателем которой является Т. Shima, 60% научных тем, вывешенных на планшетах, связаны с этой моделью.

Наша цель — исследование трёхмерных множеств достижимости для машины Дубинса. Мы кратко скажем также об их применении в задачах наблюдения с неполной информацией.

Термин «reachable set» и «attainability set» — одно и то же.

Slide 1

The Dubins car is a very popular model in the nowadays control theory. For example, in the Technion student laboratory (founded by T. Shima) about 60% of scientific topics on the posters are concerned with this model.

Our aim is to investigate three-dimensional reachable sets for Dubins car. We will also discuss very shortly the application of the reachable sets to observation problem with incomplete information.

The terms “reachable set” and “attainability set” are the same.

Nonlinear control system of car motion (Dubins Car)



Markov, A. A. (1889). Some examples of the solution of a special kind of problem on greatest and least quantities, Soobschenija Charkovskogo matematicheskogo obschestva, Vol. 2-1 (No. 5,6), 250–276 (in Russian).

Нѣсколько примѣровъ рѣшенія особаго
рода задачъ о наибольшихъ и наимень-
шихъ величинахъ.

А. А. Маркова.



Homicidal Chauffeur
Problem

Isaacs, R. (1951). Games of pursuit, Scientific report of the RAND Corporation, Santa Monica.

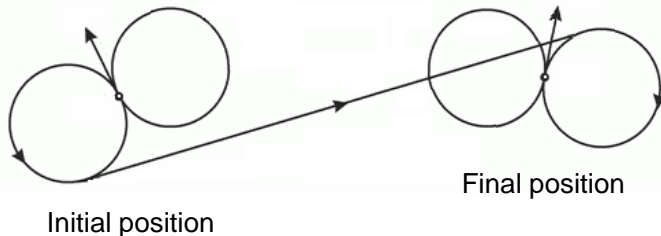
AMERICAN JOURNAL OF MATHEMATICS

Volume LXXIX, Number 3 JULY, 1957, pp 497 – 515

ON CURVES OF MINIMAL LENGTH WITH A CONSTRAINT ON
AVERAGE CURVATURE, AND WITH PRESCRIBED INITIAL
AND TERMINAL POSITIONS AND TANGENTS.*

By L. E. DUBINS.

* Received April 28, 1956; revised January 3, 1957.



Слайд 2

Немного истории. В 1889 г. А.А. Марков опубликовал статью с формулировками и решениями четырёх модельных задач об оптимальных кривых с ограниченным радиусом кривизны. Задачи были связаны с проектированием железных дорог.

Р. Айзекс первым стал называть «автомобилем» математический объект, который движется с ограничением на радиус поворота (1951).

В 1957 г. в математическом журнале вышла статья Л. Дубинса, в которой он доказал, что среди кривых с ограниченным радиусом кривизны, заданными начальным и конечным положениями, а также заданными направлениями выхода и входа кривая наименьшей длины состоит из не более трёх стандартных участков. Ими являются: поворот с минимальным радиусом в одну сторону, поворот с минимальным радиусом в другую сторону, прямолинейный участок. Дубинс указал все варианты (их 6), которыми можно ограничиться при исследовании кратчайших кривых.

Slide 2

Several history hints. In 1889, A.A. Markov published a paper with formulations and solutions of four model problems on optimal curves with bounded radius of curvature. These problems were connected with projecting the railroads.

In 1951, R. Isaacs was the first one who called the “car” a mathematical object that moves with a constraint on the radius of turn.

In 1957, a paper by L. Dubins was published in a mathematical journal. He proved that, in the bunch of curves with the constrained radius of turn for given initial and terminal geometric states and also with given directions of output and enter, a curve of the minimal length consists of not more than three standard parts. These are: the turn with the minimal radius to one side, the turn with the minimal radius to the other side, and the linear-direction part. Dubins had pointed out all six variants, which are sufficient to take into account in investigations of the shortest curves.

Dubins Car: 3D-Reachable set at instant t_f

$$\dot{x} = \cos \varphi, \quad u_1 = -1 \quad (\text{symmetric case})$$

$$\dot{y} = \sin \varphi, \quad u_1 \in (-1, 0) \quad (\text{asymmetric case})$$

$$\dot{\varphi} = u; \quad u_1 = 0 \quad (\text{one-sided case})$$

$$u \in [u_1, u_2]. \quad u_1 \in (0, 1) \quad (\text{strictly one-sided case})$$

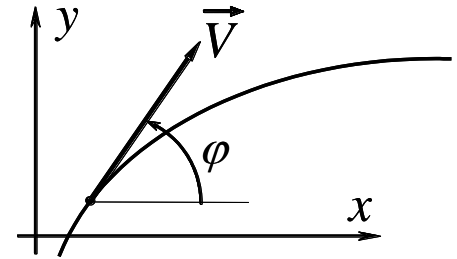
$u_2 = 1$, u_1 is a parameter of problem

Reachable set at instant t_f :

$$G(t_f) = \bigcup_{u(\cdot)} \begin{pmatrix} x(t_f) \\ y(t_f) \\ \varphi(t_f) \end{pmatrix}$$

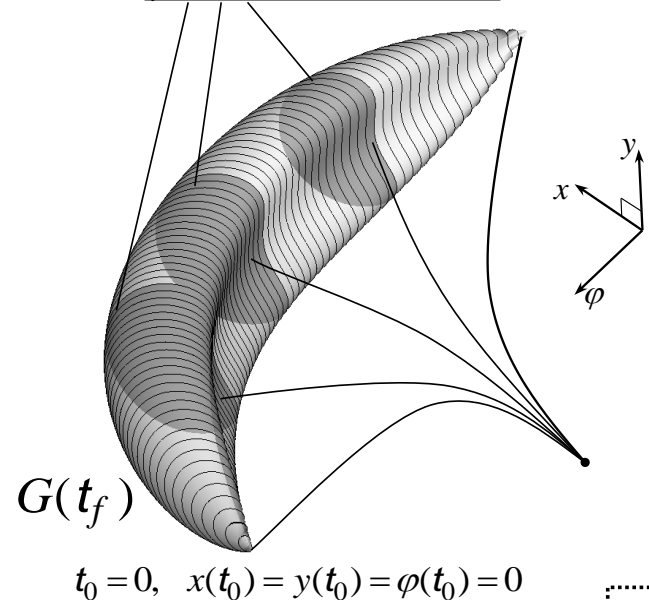
Reachable set up to instant t_f :

$$G^*(t_f) = \bigcup_{0 \leq t \leq t_f} G(t)$$



We consider $\varphi \in (-\infty, +\infty)$

φ -sections of reachable set



Слайд 3

Динамика машины Дубинса содержит геометрические координаты x , y и угол φ направления вектора линейной скорости. Значение u_1 в записи ограничения на управление u считаем параметром задачи. Мы выделяем четыре случая. Если $u_1 = -1$, это симметричный случай. Если $u_1 \in (-1, 0)$, то это несимметричный случай. В третьем случае $u_1 = 0$. В этом случае можно поворачивать только в одну сторону. Четвертый случай $u_1 \in (0, 1)$ — это случай строго одностороннего поворота. Здесь движение по прямой запрещено.

Нас интересует трехмерное множество достижимости $G(t_f)$ «в момент» t_f . Во избежание путаницы подчеркнём, что мы различаем множества достижимости «в момент» и «к моменту». В данной работе речь пойдёт только о множестве достижимости в момент.

Отметим, что мы рассматриваем угол φ на промежутке $(-\infty, +\infty)$, т.е. не отождествляем углы «по модулю» 2π .

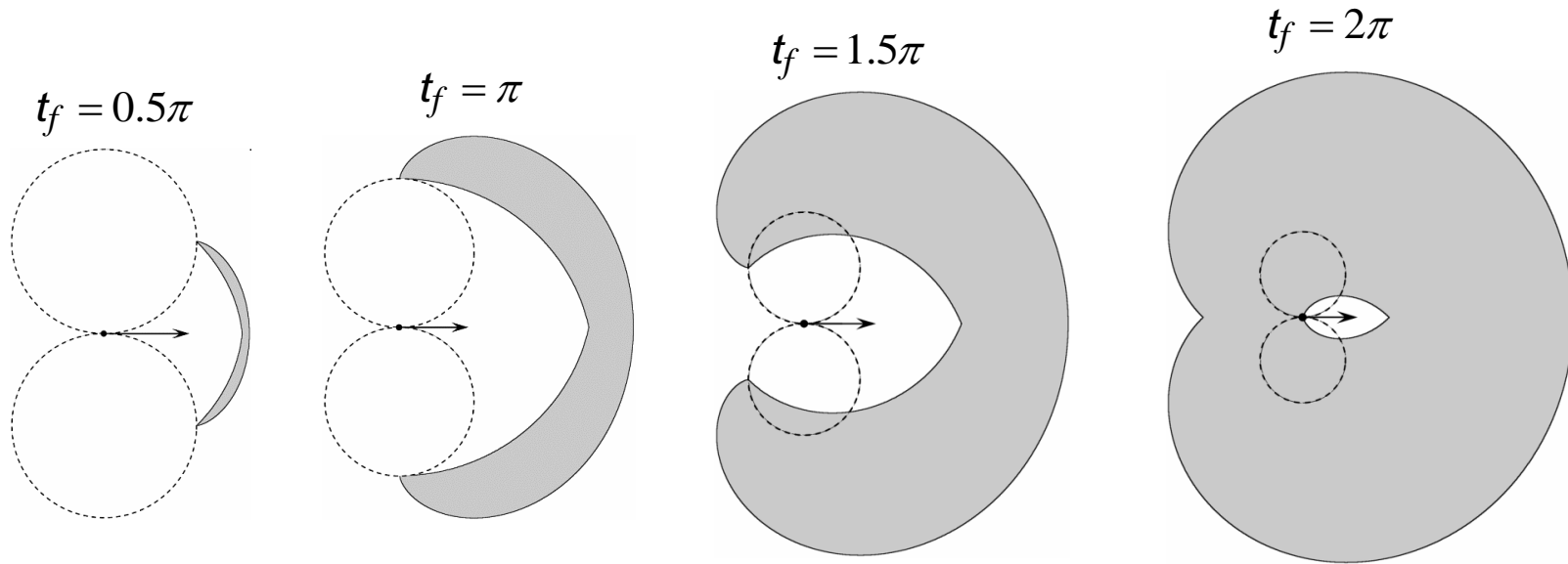
Slide 3

Dynamics of Dubins car comprises geometric coordinates x , y , and the angle φ of the linear velocity vector. The value u_1 in the description of the constraint on the control u is the problem parameter. We distinguish four cases. If $u_1 = -1$, then it is a symmetric case. If $u_1 \in (-1, 0)$, then it is an asymmetric case. In the third one, we have $u_1 = 0$. Here, the turn is permitted only to one side. The fourth case $u_1 \in (0, 1)$ has strictly one-sided turn, when a motion along a straight line is prohibited.

We are interested in the three-dimensional reachable set $G(t_f)$ “at instant” t_f . To avoid misunderstanding, we underline the distinctions between the reachable sets “at instant” and “up to instant”. In our work, we speak only about the reachable sets “at instant”.

Note also that we consider the angle φ in the interval $(-\infty, +\infty)$, *i.e.*, we do not identify the angles by “modulo” 2π .

Reachable sets in projection onto a geometric plane, symmetric case



SIAM J. CONTROL
Vol. 13, No. 1, January 1975

PLANE MOTION OF A PARTICLE SUBJECT TO CURVATURE CONSTRAINTS*

E. J. COCKAYNE AND G. W. C. HALL†

Abstract. A particle P moves in the plane with constant speed and subject to an upper bound on the curvature of its path. This paper studies the classes of trajectories by which P can reach a given point in a given direction and obtains, for all t , the set $R(t)$ of all possible positions for P at time t , thus extending the results of several recent authors.

Yu.I.Berdyshev

Nelineinye zadachi posledovatel'nogo upravleniya i ikh prilozhenie.
[Nonlinear Problems in Sequential Control and Their Application].
Ekaterinburg: IMM UB RAS, 2015, 193 p.

Слайд 4

Что известно о множестве достижимости в момент из работ других авторов? Только описание двумерных множеств достижимости в плоскости геометрических координат для симметричного случая. Это работа E.J. Cockayne и G.W.C. Hall, 1975. В нашем Институте такое описание использовал Ю.И. Бердышев применительно к различным задачам.

Slide 4

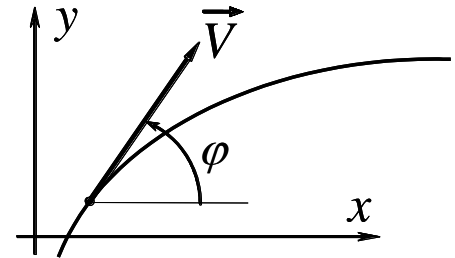
What is known about reachable sets “at instant” from works of other authors? It is only a description of two-dimensional reachable sets in the plane of the geometric coordinates for the symmetric case that appeared in the work by E.J. Cockayne and G.W.C. Hall in 1975. At our Institute, such a description was applied to various problems by Yu.I. Berdyshev.

Pontryagin Maximum Principle

It is known [Lee, E.B., Markus, L.] that controls that carry a system onto the reachable set boundary satisfy the Pontryagin Maximum Principle (PMP).

$$\begin{cases} \dot{x} = \cos \varphi, \\ \dot{y} = \sin \varphi, \\ \dot{\varphi} = u; \end{cases} \quad \begin{array}{l} \text{Dynamic description} \\ \text{of Dubins car} \\ \text{in normalized coordinates} \end{array}$$

$$u \in [u_1, 1].$$



Let $u^*(\cdot)$ be some admissible control and $(x^*(\cdot), y^*(\cdot), \varphi^*(\cdot))^T$ be the corresponding motion of Dubins car on the interval $[t_0, t_f]$.

Differential equations for the adjoint system :

$$\begin{cases} \dot{\psi}_1 = 0, \\ \dot{\psi}_2 = 0, \\ \dot{\psi}_3 = \psi_1 \sin \varphi^* - \psi_2 \cos \varphi^*. \end{cases}$$

Слайд 5

Естественно, что при исследовании множеств достижимости мы опираемся на Принцип Максимума Понтрягина (ПМП). Можно сказать, что ПМП — это свойство, которым обладает управляемое движение, ведущее на границу множества достижимости. Соответствующее утверждение есть в книге E.B Lee и L. Markus.

Сопряженная система в исследуемой задаче несложная и имеет вид, показанный на слайде.

Slide 5

It is natural that in our investigation of reachable sets, we are based on the Pontryagin Maximum Principle (PMP). It could be said that the PMP is the property that a controlled motion possesses if it leads onto the boundary of the reachable set. The corresponding statement is in the book by E.B Lee and L. Markus.

In the problem under investigation, the conjugated system is simple and has the form shown in the slide.

Pontryagin Maximum Principle Condition

The PMP means that a nonzero solution $(\psi_1^*(\cdot), \psi_2^*(\cdot), \psi_3^*(\cdot))^T$ of the adjoint system exists, for which almost everywhere (a.e.) on the interval $[t_0, t_f]$ the following condition is satisfied :

$$\psi_1^*(t)\cos\varphi^*(t) + \psi_2^*(t)\sin\varphi^*(t) + \psi_3^*(t)u^*(t) = \max_{u \in [u_1, 1]} [\psi_1^*(t)\cos\varphi^*(t) + \psi_2^*(t)\sin\varphi^*(t) + \psi_3^*(t)u]$$

$$\Rightarrow \psi_3^*(t)u^*(t) = \max_{u \in [u_1, 1]} [\psi_3^*(t)u], \quad \text{a.e. } t \in [t_0, t_f]$$

The functions $\psi_1^*(\cdot)$ and $\psi_2^*(\cdot)$ are constant.

If $\psi_1^* = 0$ and $\psi_2^* = 0$, then $\psi_3^*(\cdot) = \text{const} \neq 0$ on the interval $[t_0, t_f]$.

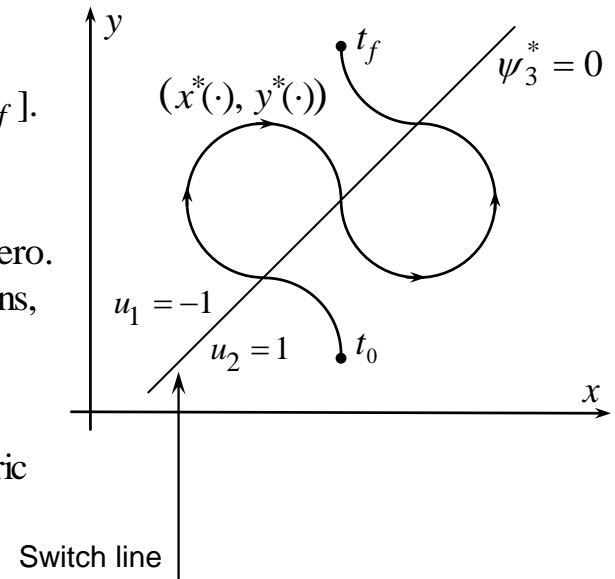
Therefore, we have $u^*(t) = u_1$ or $u^*(t) = 1$ a.e.

Let at least one of the numbers $\psi_1^*(\cdot)$ and $\psi_2^*(\cdot)$ be non-zero. Using the equations of dynamics and adjoint system equations, one can write

$$\psi_3^*(t) = \psi_1^* y^*(t) - \psi_2^* x^*(t) + C.$$

Therefore, $\psi_3^*(t) = 0$ iff the point $(x^*(t), y^*(t))^T$ of the geometric position at the instant t obeys the straight line equation

$$\psi_1^* y - \psi_2^* x + C = 0.$$



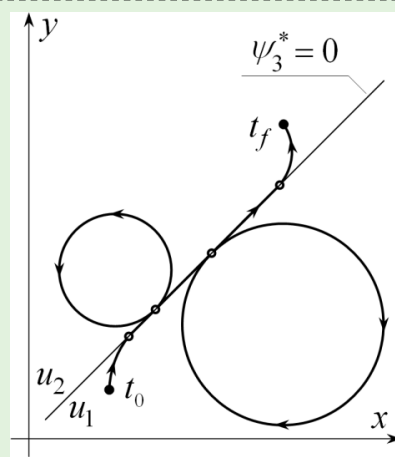
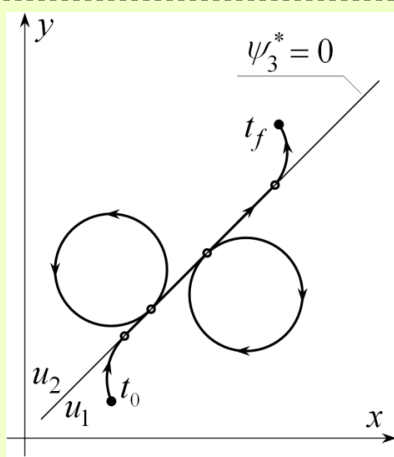
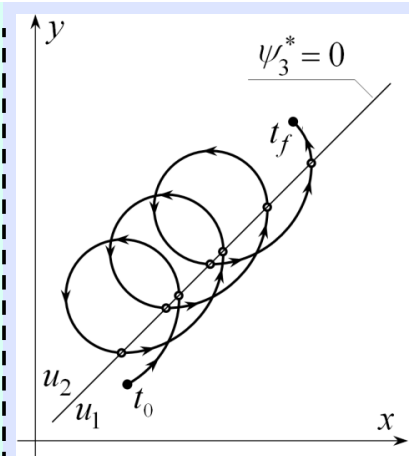
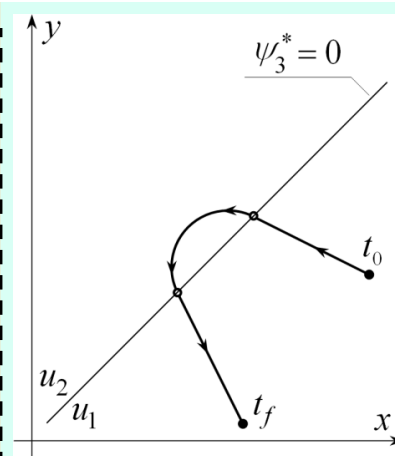
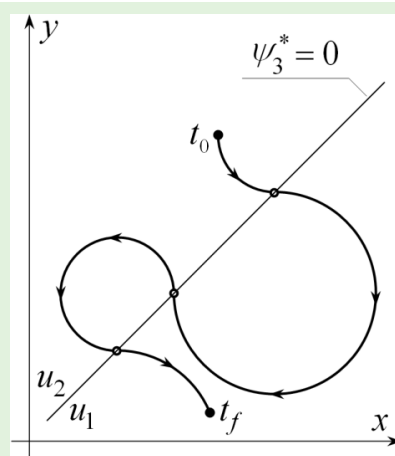
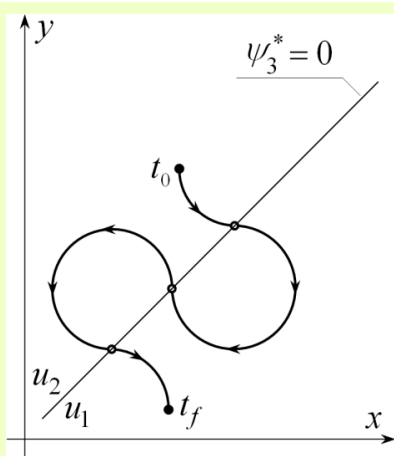
Слайд 6

Здесь представлена формула для ПМП. Показан для симметричного случая вариант экстремального движения. Каждому движению, удовлетворяющему ПМП и имеющему два или более переключений, соответствует своя прямая переключения.

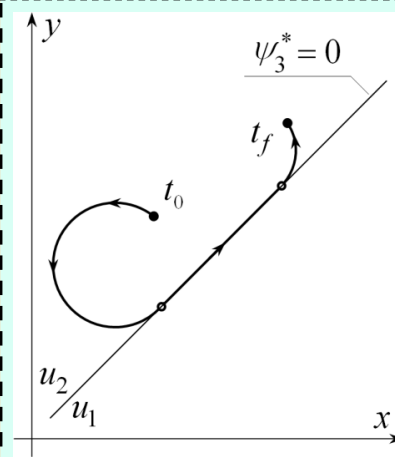
Slide 6

Here, the PMP formula is presented. A variant of an extreme motion is shown for the symmetric case. Each movement satisfying the PMP and having two or more switchings corresponds to its own switch line.

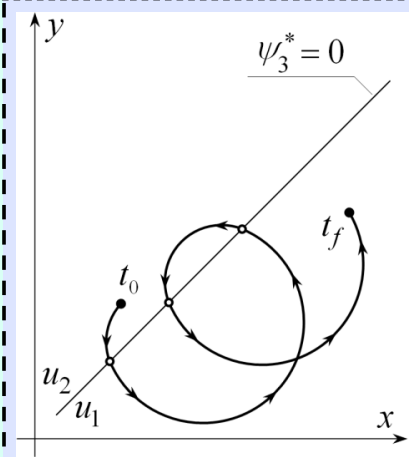
Types of motions (trajectories ($x^*(\cdot), y^*(\cdot)$))



an example with $u_1 = -0.5$



one - sided case
($u_1 = 0$)



an example with $u_1 = 0.5$

strictly one - sided case
($0 < u_1 < 1$)

symmetric case
($u_1 = -1$)

asymmetric case
($-1 < u_1 < 0$)

Слайд 7

На этом слайде для каждого из четырёх случаев показаны некоторые варианты движений, удовлетворяющих ПМП.

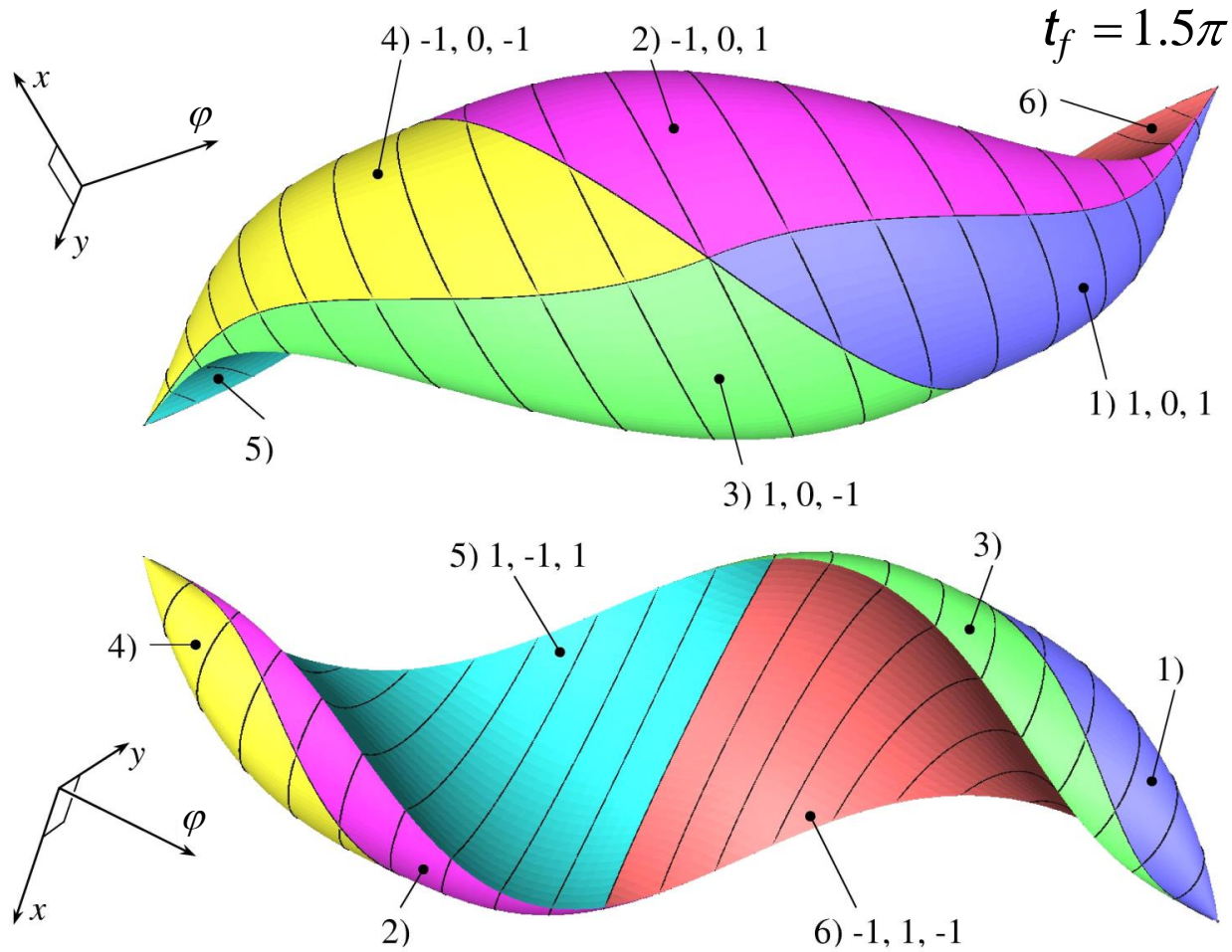
Но ПМП — это только начало исследования множеств достижимости.

Slide 7

On this slide, some variants of motion are shown for each of the mentioned cases; these motions satisfy the PMP.

But the PMP is only the first step of investigation of the reachable sets.

Reachable set $G(t_f)$ for the symmetric case



Слайд 8

Для симметричного случая мы установили, что в любую точку на границе множества достижимости $G(t_f)$ ведёт движение, которое имеет не более двух переключений. При этом всю границу можно разбить на 6 частей (клеток), каждая со своим характером экстремальных движений. Например, клетке 2 соответствует последовательность управлений $-1, 0, +1$. Т.е. имеется первый промежуток с управлением -1 , затем идёт прямолинейное движение с управлением $u = 0$, на третьем промежутке управление равно $+1$. В клетке 5 порядок управлений $+1, -1, +1$. Указанные шесть вариантов такие же, как в знаменитой теореме Дубинса.

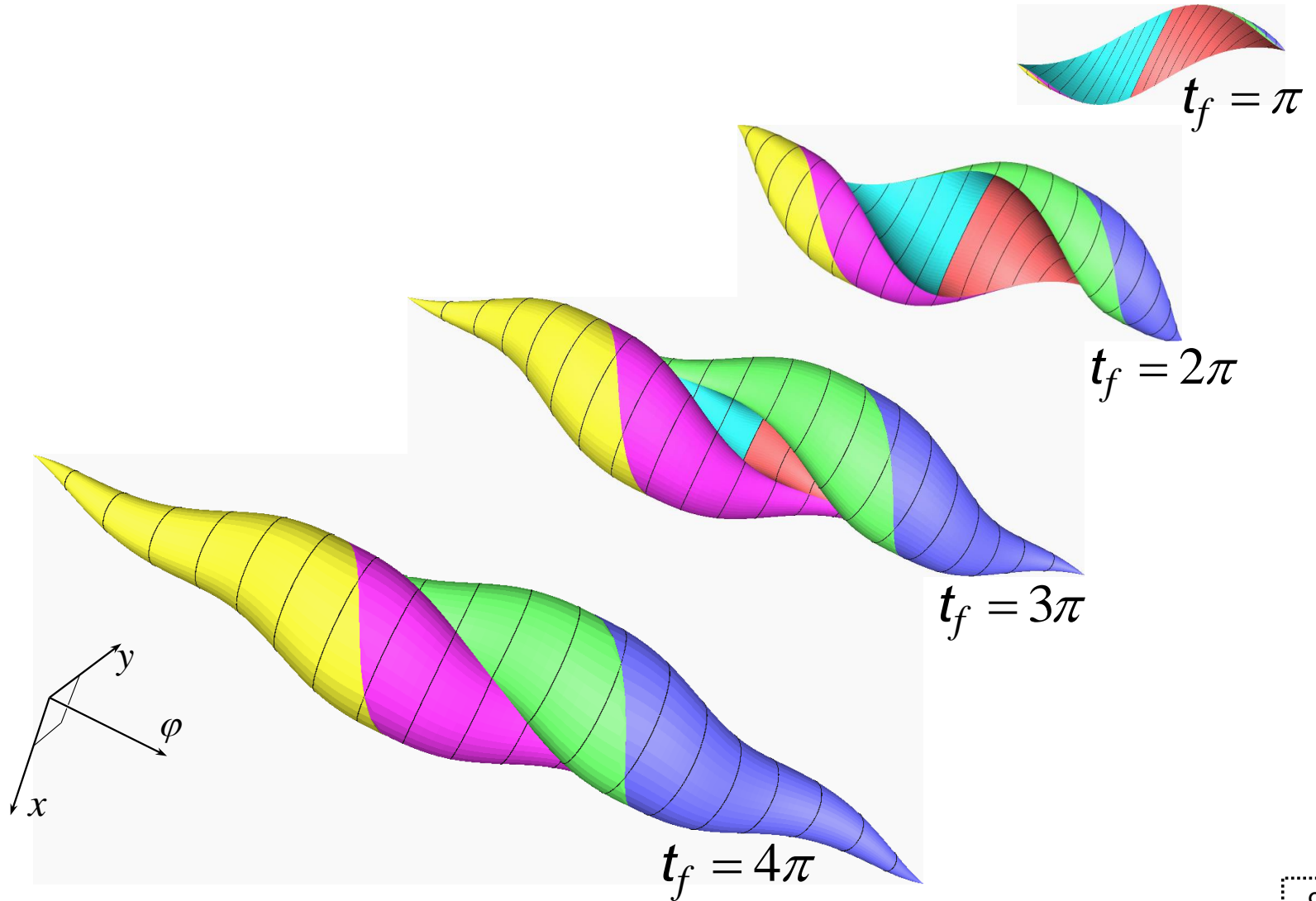
Тонкими линиями на слайде показаны сечения множества достижимости по угловой координате (φ -сечения).

Slide 8

For the symmetric case, we had found that a motion that leads to any point on the boundary of the reachable set $G(t_f)$ has not more than two switches. Under this, the whole boundary can be divided into six parts (cells), and each of them has its own character of extreme motions. For example, the sequence of controls $-1, 0, +1$ corresponds to cell 2. So, there exists the first time interval with the control -1 ; further, the linear-direction motion goes with the control $u = 0$; in the third time interval, the control is equal to $+1$. But in cell 5, the control sequence is $+1, -1, +1$. The shown six variants of controls are the same as in the famous Dubins theorem.

On the slide, the thin lines mark the reachable set sections by the angular coordinate (φ -sections).

Evolution of reachable set in the symmetric case



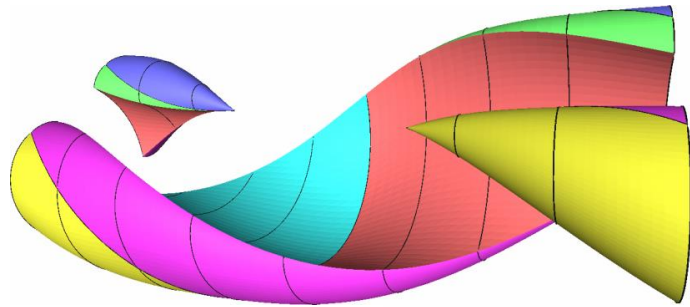
Слайд 9

Такую картинку развития множества достижимости с ростом времени мы показывали на различных конференциях. Очень похоже на развитие панциря улитки.

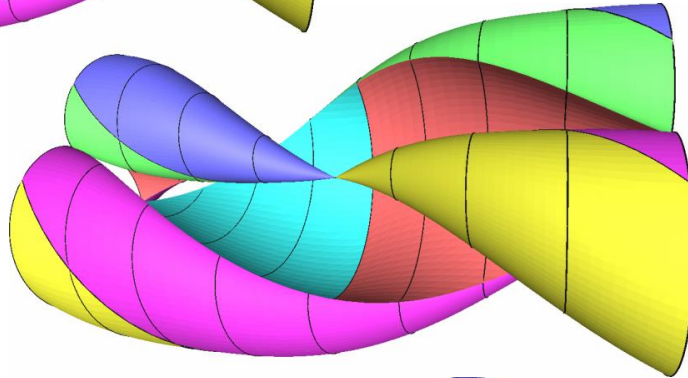
Slide 9

Such a picture of developing the reachable set in time has been shown at various Conferences. It is rather similar to growth of shell on a snail.

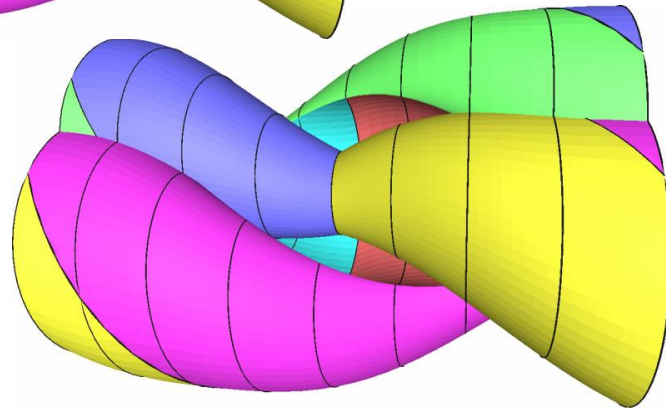
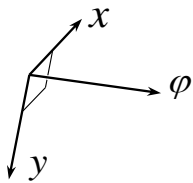
Reachable sets with φ computed by modulo 2π in the symmetric case



$$t_f = 1.6\pi$$



$$t_f = 2\pi$$



$$t_f = 2.5\pi$$

Слайд 10

Если считать, что угол φ просчитывается по модулю 2π , то изображения становятся малопонятными. Здесь мы видим множества достижимости для трех моментов времени. В силу сложности конфигураций, почти никто, кроме нас, и не занимается трёхмерными множествами достижимости для машины Дубинса.

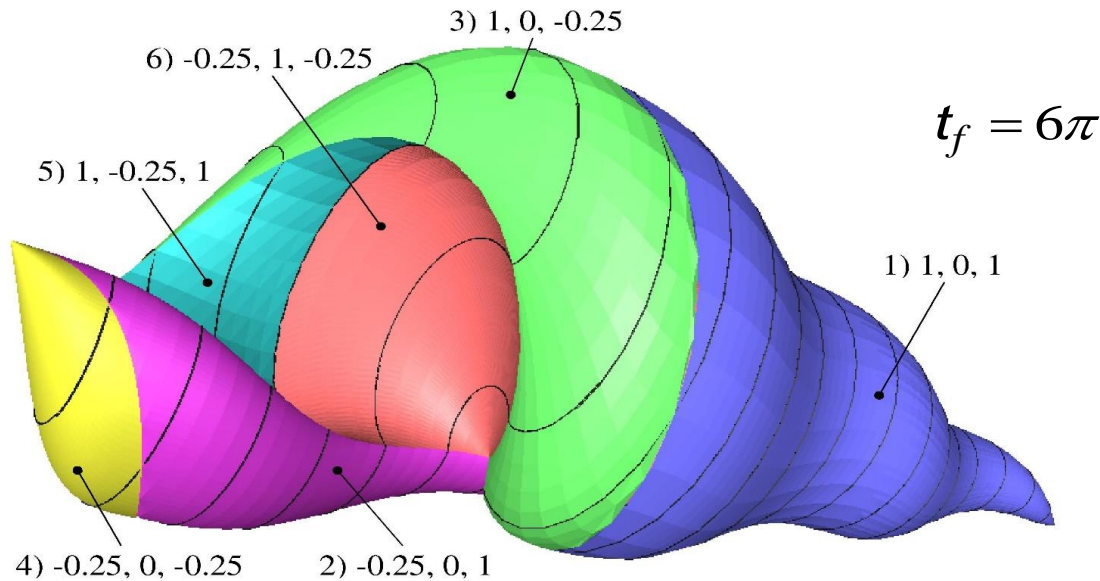
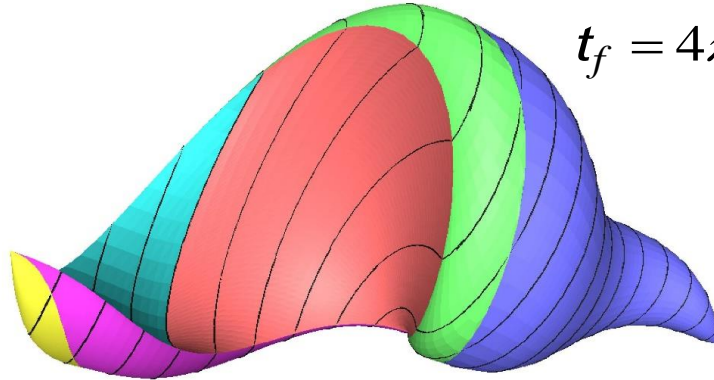
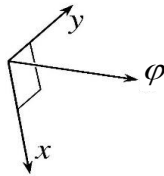
Slide 10

If the angle φ is calculated by modulo 2π , the pictures become difficult for comprehension. Here, we see reachable sets for three instants. Due to these complicated configurations, almost nobody (except us) deals with the three-dimensional reachable sets for Dubins car.

Reachable sets in the asymmetric case

$$u \in [-0.25, 1]$$

$$t_f = 4\pi$$



Слайд 11

Так выглядят трехмерные множества достижимости в несимметричном случае.

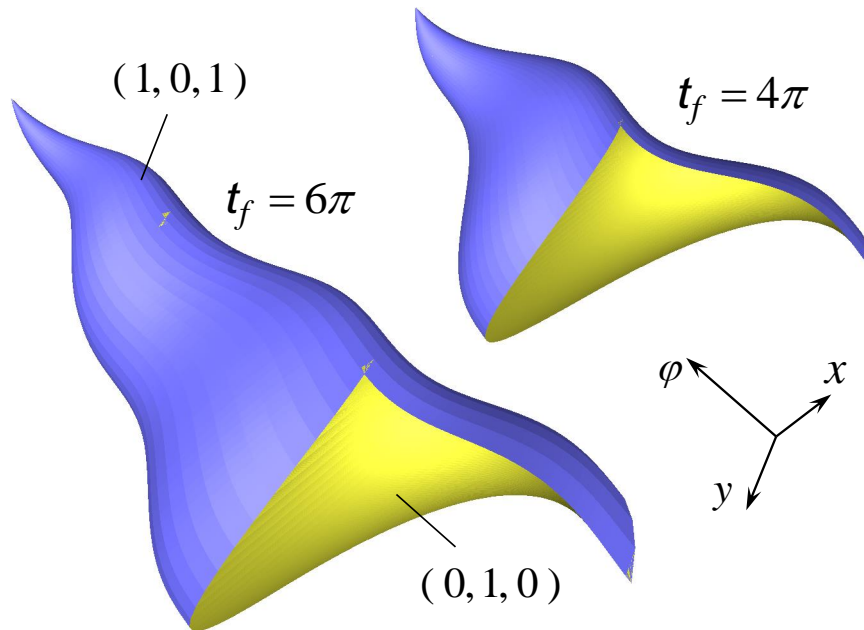
Для симметричного и несимметричного случаев у нас пока нет аналитического описания φ -сечений.

Slide 11

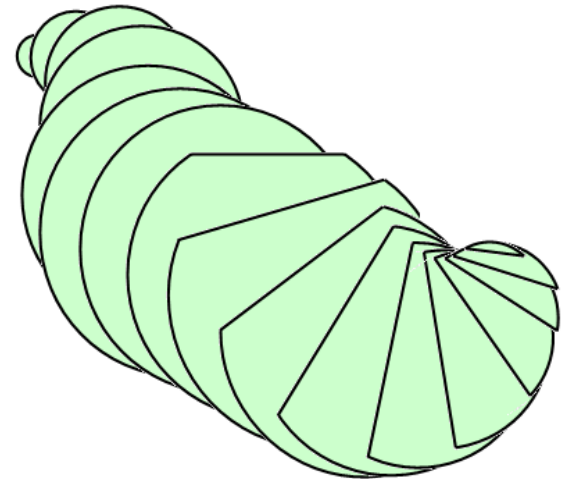
Here, three-dimensional reachable sets are shown for the asymmetric case.

Till now, we have no analytical description of the φ -sections for the symmetric and asymmetric cases.

One-sided case $u_1=0$ (it is allowed to move in a straight line)



Two variants of controls carrying
the motion onto the boundary



Convexity of φ -sections

We have a description of the φ -sections of the reachable set that actually represents either a circular segment (for $\varphi < 2\pi$) or an entire circle (for $\varphi \geq 2\pi$).

Слайд 12

Для случая $u_1 = 0$ аналитическое описание φ -сечений получено. Здесь каждое φ -сечение либо круг, либо круговой сегмент. Таким образом, при $u_1 = 0$ φ -сечения являются выпуклыми. Установлено, что при исследовании движений, ведущих на границу, можно ограничиться двумя последовательностями управлений. А именно, $+1, 0, +1$ и $0, +1, 0$.

Slide 12

For the case $u_1 = 0$, an analytical description of the φ -sections is obtained. Here, each φ -section is either a circle or a circular segment. Thus, under $u_1 = 0$, the φ -sections are convex. It was found that in investigation of motions leading onto the boundary, it is sufficient to deal with only two sequences of the control; which are $+1, 0, +1$ and $0, +1, 0$.

Strictly one-sided case $u_1 > 0$.

Types of motions which lead onto the boundary

0 Motions with constant (in time) control :

$$u \equiv u_1 \quad \text{or} \quad u \equiv u_2$$

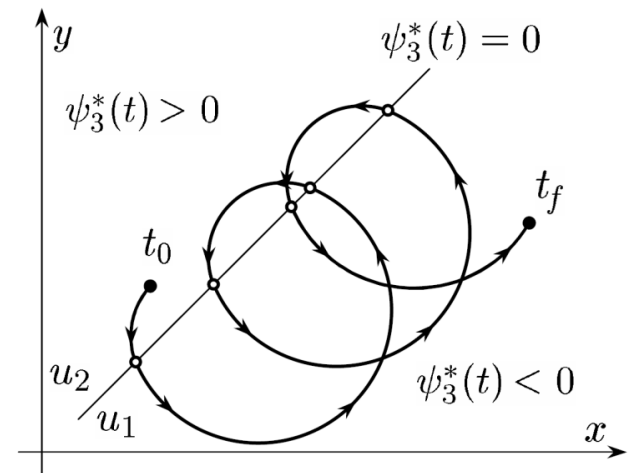
(two extreme points of reachable set)

1 Motions BS: start with control $u = u_1$
and finish with control $u = u_2$;

2 Motions BB: start with control $u = u_1$
and finish with control $u = u_1$;

3 Motions SB: start with control $u = u_2$
and finish with control $u = u_1$;

4 Motions SS: start with control $u = u_2$
and finish with control $u = u_2$;



Example of SB-type motion

Слайд 13

Наш новый результат последнего времени состоит в аналитическом описании φ -сечений для случая строго одностороннего поворота. Доказана строгая выпуклость φ -сечений. При этом граница любого φ -сечения состоит из не более чем четырёх гладких дуг.

Движения типа SB — это движения, в которых на первом промежутке действует управление $u = 1$ (траектория на плоскости геометрических координат представляет собой дугу малого радиуса), а в конце промежутка времени действует управление u_1 (реализуется дуга большого радиуса). Между начальным и конечным участками идёт чередование дуг большого и малого радиуса (некоторое количество циклов).

Аналогичный смысл имеют движения типа BS, BB и SS.

Slide 13

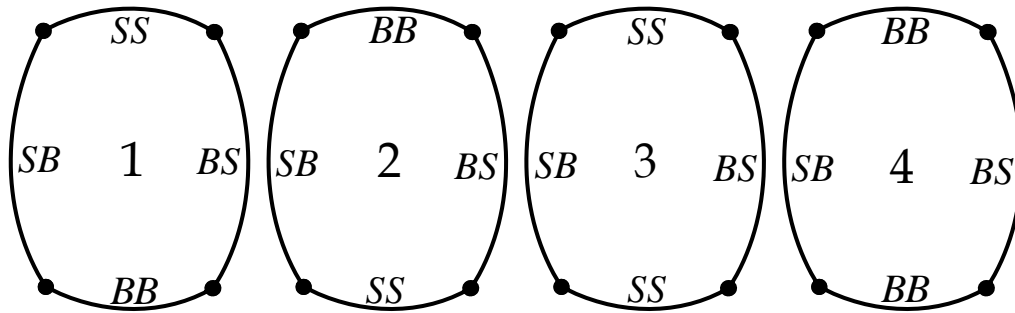
Our new recent result is in obtaining an analytical description of the φ -sections for the case of strictly one-sided turn. The strict convexity of the φ -sections is proved. Under this, the boundary of any φ -section comprises not more than four smooth arcs.

Motions of type SB are those, in which the control $u = 1$ acts in the first time interval. The corresponding trajectory in the plane of the geometric coordinates is an arc of the small radius. But at the final time interval, the control u_1 acts and the arc of the large (big) radius is implemented. Between the initial and final time intervals, the sequence of arcs of the large and small radius appears (several cycles).

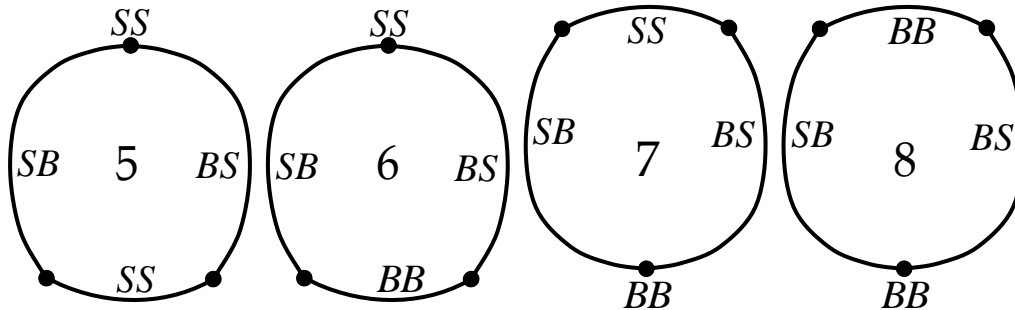
The motions of types BS, BB, and SS have some similar interpretations.

Strictly one-sided case $u_1 > 0$.

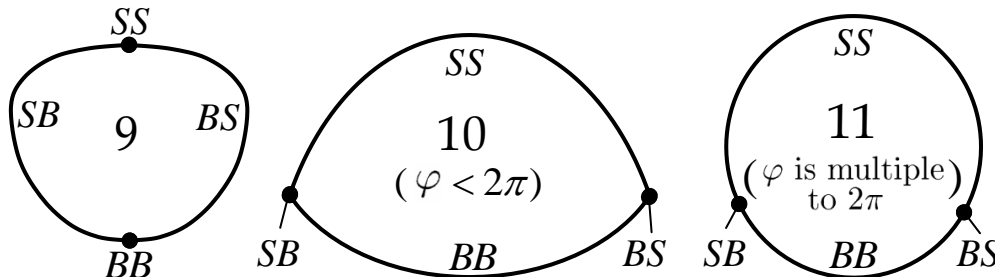
Variants of φ -sections



4 arcs with
smooth connection



3 arcs with
smooth connection



2 arcs with
smooth connection
or with
nonsmooth connection

Слайд 14

На этом слайде перечислены все возможные варианты φ -сечений для случая строго одностороннего поворота. Всего имеем 11 вариантов. SB – это дуга на границе φ -сечения, куда приходят движения типа SB. Аналитическое описание границы φ -сечений уже не такое простое, как при $u_1 = 0$, но оно получено.

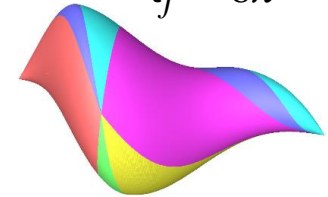
Slide 14

On this slide, all possible variants of the φ -sections are presented for the case of the strictly one-sided turn. There are 11 variants. Here, SB is an arc on the φ -section boundary, where SB-type motions come. The analytical descriptions of the φ -sections are not so simple as for the case $u_1 = 0$; but it has been obtained.

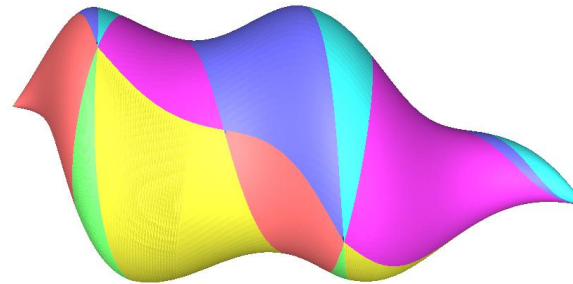
Reachable sets for the case $u_1 > 0$ (it is not allowed to move in a straight line)

Examples for $u_1 = 0.5$, $u_2 = 1$

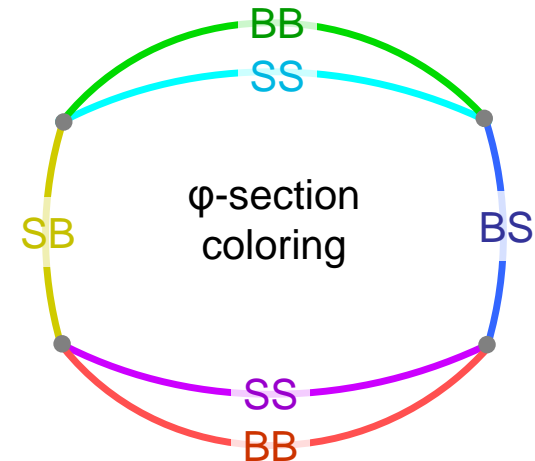
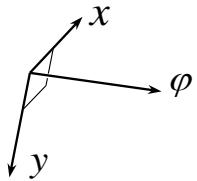
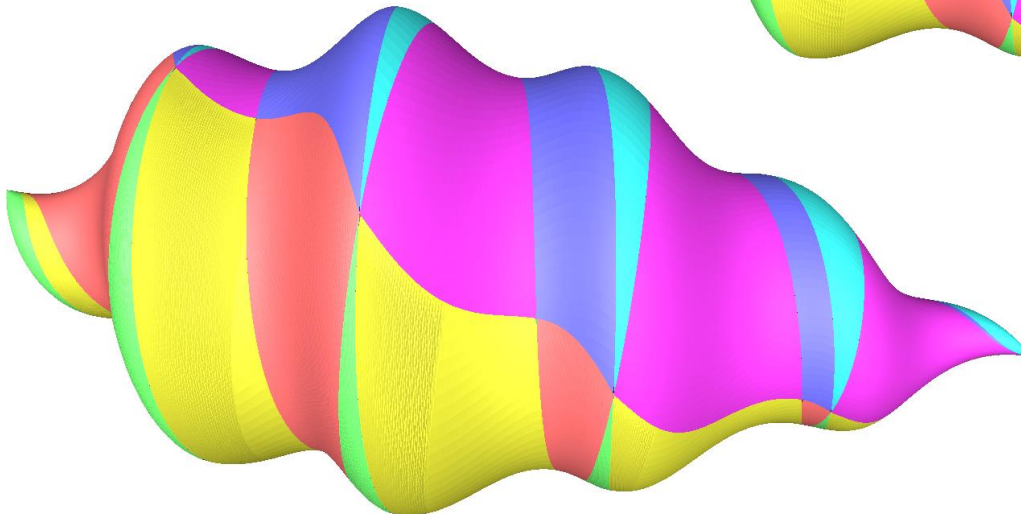
$t_f = 6\pi$



$t_f = 10\pi$



$t_f = 20\pi$



Слайд 15

Здесь показаны трёхмерные множества достижимости для случая строго одностороннего поворота. Одним и тем же цветом размечены участки границы, содержащие один и тот же тип дуги на границе φ -сечений. Всего имеем шесть вариантов. Дуги BB и SS могут входить в φ -сечение каждая в двух стандартных вариантах, которые отличаются числом промежуточных циклов в записи соответствующих экстремальных движений. Дуги SB и BS при каждом φ задаются единственным образом.

Slide 15

Here, three-dimensional reachable sets are shown for the case of the strictly one-sided turn. Those parts of the boundary that have the same type of the arcs on the boundary of the φ -sections are marked by the same color. There are only six variants. The arcs BB and SS can be included in a φ -section, each in some two standard variants, which differ by the number of intermediate cycles in description of the extreme motions. The arcs SB and BS for each φ are given by the only way.

Pontryagin maximum principle, φ -sections of the reachable set, and controls leading onto the boundary

	Pontryagin maximum principle	φ -sections of the reachable set	Controls leading onto the boundary
$u_1 = -1$ symmetric case	Only necessary condition	<i>Non-convex</i>	Non-uniqueness in the class of piecewise constant controls
$u_1 \in (-1, 0)$ asymmetric case			
$u_1 = 0$ one - sided case	Necessary and sufficient condition	<i>Convex</i>	Uniqueness in the class of piecewise constant controls
$u_1 \in (0, 1)$ strictly one - sided case		<i>Strict convex</i>	

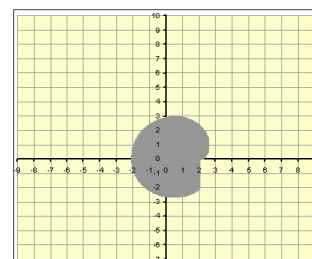
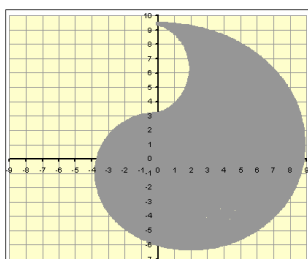
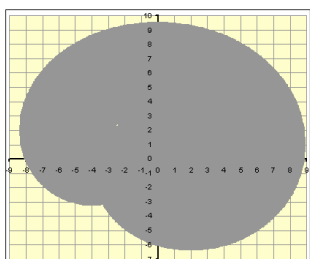
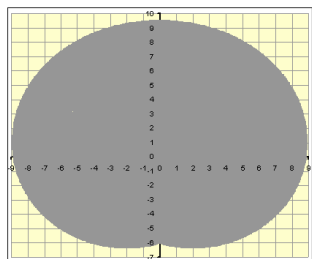
Слайд 16

Есть определённая зависимость между характером φ -сечений и свойствами ПМП. В симметричном и несимметричном случаях ПМП — только необходимое условие перевода на границу множества достижимости. В этих случаях φ -сечения, вообще говоря, не являются выпуклыми. В случаях одностороннего и строго одностороннего поворотов ПМП — необходимое и достаточное условие перевода на границу. Здесь φ -сечения являются выпуклыми. Более того, в случае строго одностороннего поворота φ -сечения представляют собой строго выпуклые множества. Этому факту соответствует единственность движений, ведущих в каждую точку границы.

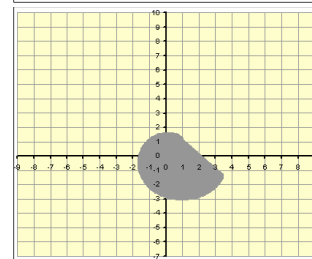
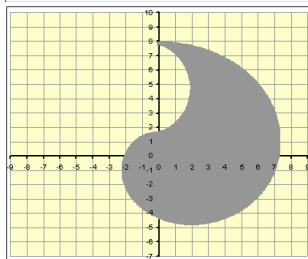
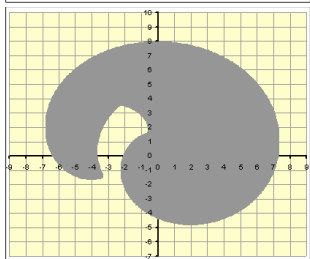
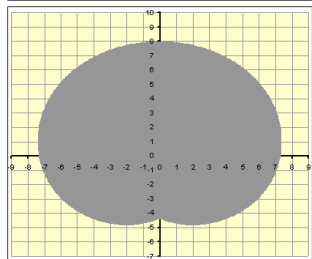
Slide 16

There exists certain dependence between the character of the φ -sections and the PMP properties. In the symmetric and asymmetric cases, the PMP is only necessary condition for transfer onto the boundary of the reachable set. Generally speaking, the φ -sections are not convex here. But in the cases of the one-sided and strictly one-sided turns, the PMP is the necessary and sufficient condition for transfer onto the boundary. Here, the φ -sections are convex. Moreover, in the case of the strictly one-sided turn, the φ -sections are strictly convex sets. This fact corresponds to the uniqueness of motions leading to each point on the boundary.

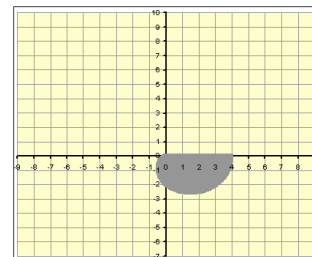
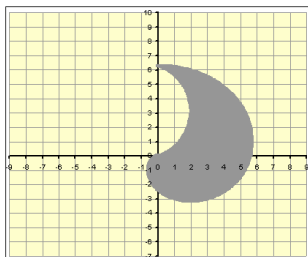
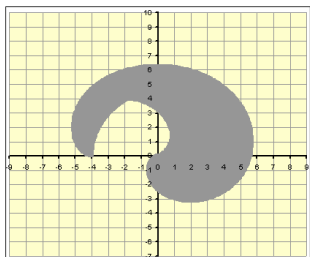
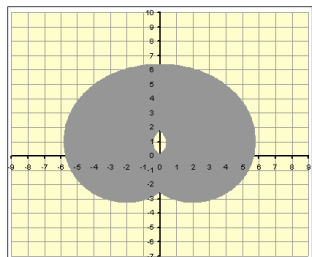
Reachable sets in the projection onto a geometric plane



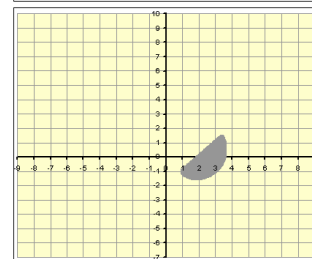
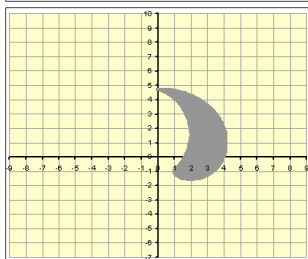
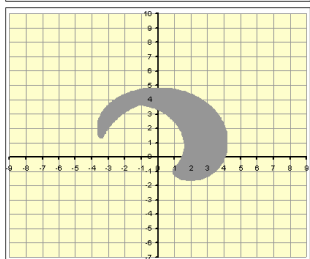
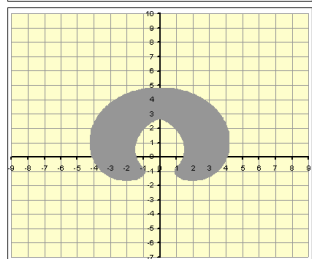
$$t_f = 3\pi$$



$$t_f = 2.5\pi$$



$$t_f = 2\pi$$



$$t_f = 1.5\pi$$

$u_1 = -1$
symmetric case

$u_1 = -0.5$
asymmetric case

$u_1 = 0$
one - sided case

$u_1 = +0.5$
strictly one - sided case

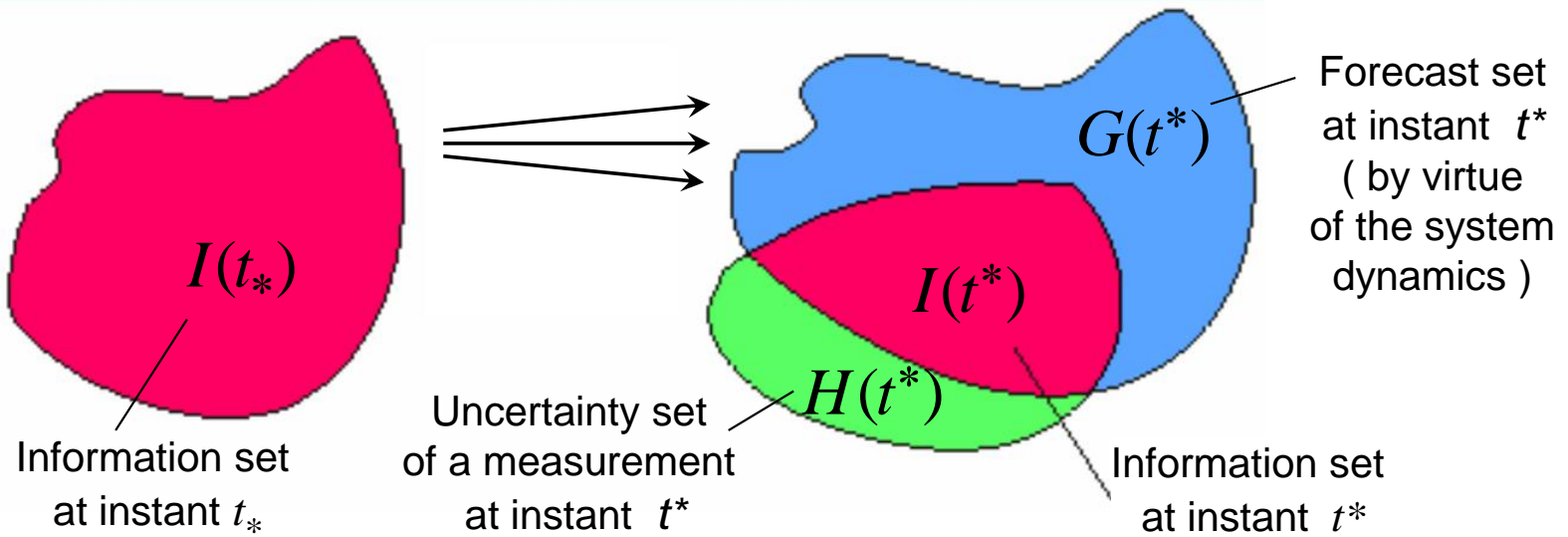
Слайд 17

На этом слайде для каждого из четырёх случаев показаны проекции множеств достижимости на плоскость геометрических координат.

Slide 17

On this slide, the projections of reachable sets onto the plane of the geometric coordinates are shown for each of the mentioned four cases.

Transformation of information sets



Information set at a current instant is a totality of all phase states consistent with description of the dynamics, constraints on measurement errors, and history of the observation process.

Terms equivalent to the term “**information set**” are “feasible set”, “membership set”, “likelihood set”.

The approach is often called the “set membership estimation” or “unknown but bounded error description (UBB approach)”

Слайд 18

Перейдём к возможному применению трёхмерных множеств достижимости в задачах наблюдения с неполной информацией. Пусть мы наблюдаем за движением объекта с динамикой машины Дубинса. Замеры геометрического положения поступают в дискретные моменты времени. Замеры неточные, но известны ограничения на ошибку измерений. Каждый замер доставляет нам «множество неопределённости» $H(t)$. Оно имеет определённую форму на плоскости x, y и цилиндрично по координате φ , если эта координата не замеряется.

Информационное множество $I(t)$ есть совокупность всех трёхмерных фазовых состояний, совместных с историей процесса наблюдения. Имея информационное множество $I(t_*)$ в некоторый момент t_* , мы строим трёхмерное множество прогноза $G(t^*)$ на момент t^* , когда придёт следующий замер. Множество $G(t^*)$ есть множество достижимости, но только не из точки, а из трёхмерного начального множества $I(t_*)$. Новое информационное множество $I(t^*)$ есть пересечение множеств $G(t^*)$ и $H(t^*)$.

Здесь выписаны варианты существующей терминологии.

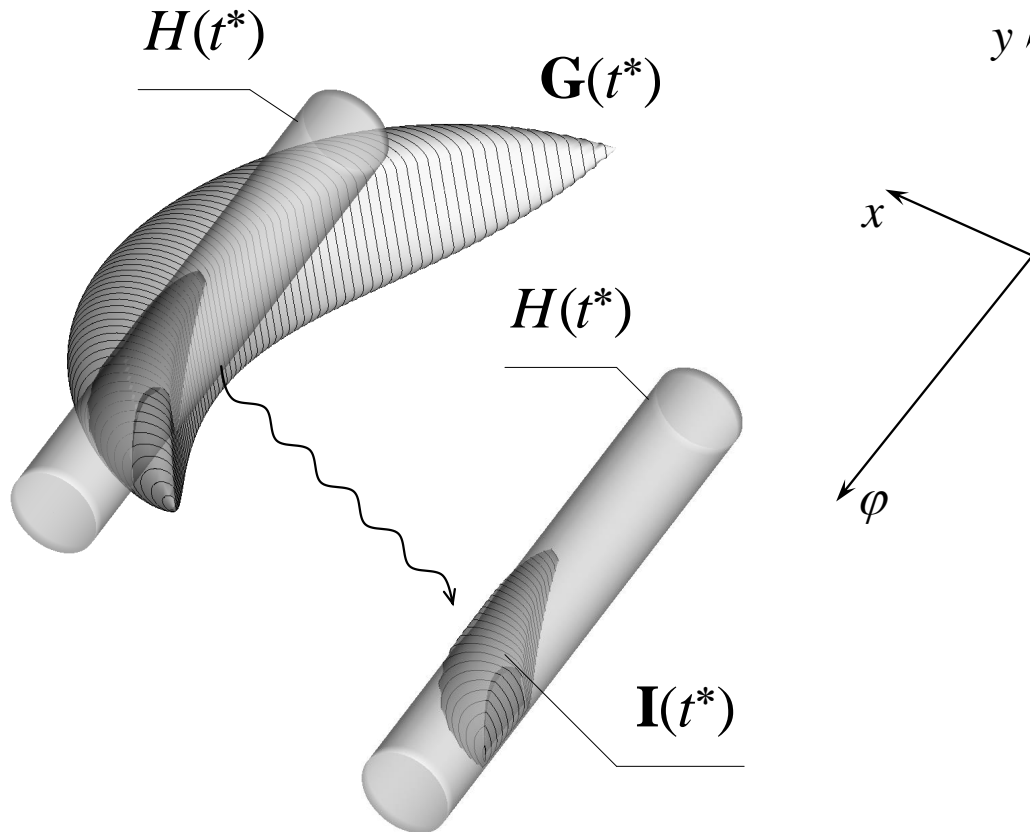
Slide 18

Now, let us move to a possible application of three-dimensional reachable sets to problems of observation with incomplete information. Let us observe an object motion with the dynamics of Dubins car. Measurements of geometric positions are provided at some discrete instants. The measurements are inexact, but the bounds of errors are known. Each measurement gives an “uncertainty set” $H(t)$. The set has some concrete form in the plane x, y and is cylindrical on the coordinate φ if this coordinate is not measured.

The information set $I(t)$ is the totality of all three-dimensional phase states compatible with the observation history. Having the information set $I(t_*)$ at some instant t_* , we build the forecast three-dimensional set $G(t^*)$ for the instant t^* , when the next measurement comes. The set $G(t^*)$ is the reachable set not from some initial point, but from the initial three-dimensional set $I(t_*)$. The new information set $I(t^*)$ is the intersection of the sets $G(t^*)$ and $H(t^*)$.

Here, some variants of now existing terminology are written out.

Intersection of an approximating forecast set with a measurement uncertainty set



Convexity of φ -sections allows to construct fast procedures for intersection

Слайд 19

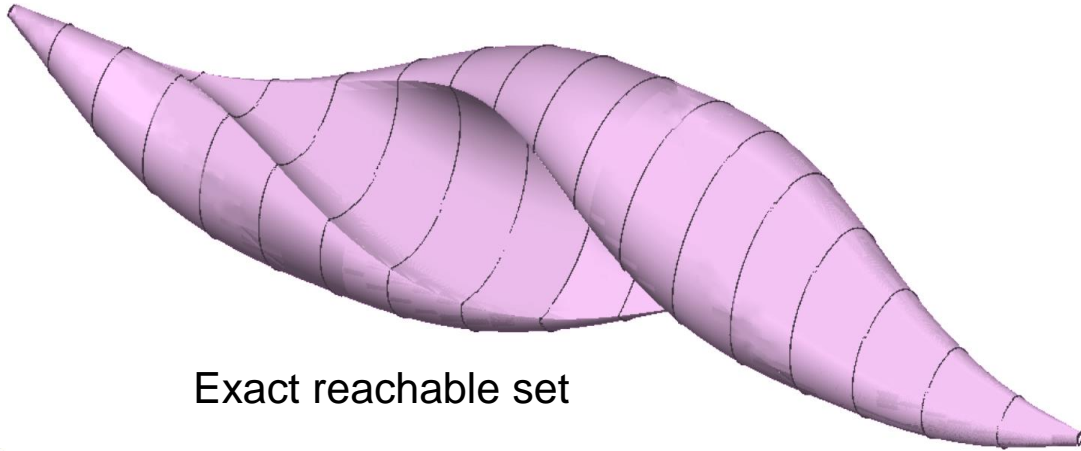
Множество $H(t)$ неопределённости замера естественно предполагать выпуклым. Если бы φ -сечения множества прогноза $G(t)$ были выпуклыми, это существенно облегчило бы процедуру пересечения.

Slide 19

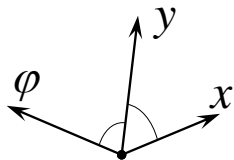
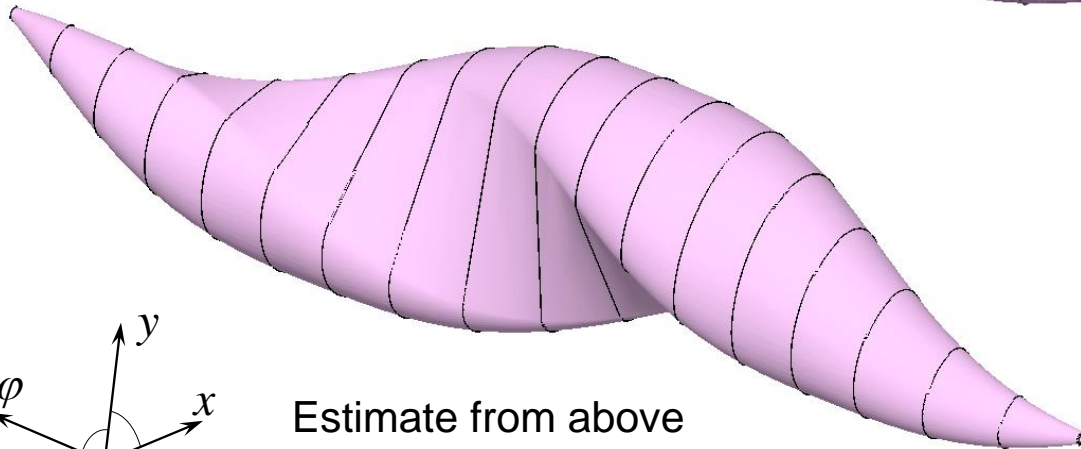
The uncertainty set $H(t)$ of each measurement is naturally regarded to be convex. If the φ -sections of the forecast set $G(t)$ were convex, then it would essentially simplify the intersection procedure.

Approximation from above for the reachable set

(at the instant $t = 2\pi$)



Exact reachable set



Estimate from above

Слайд 20

Нами разработана процедура выпукления φ -сечений множества прогноза $G(t)$. При этом «истинные» невыпуклые φ -сечения не известны. Тем не менее, мы строим аппроксимирующее множество $\mathbf{G}(t)$, φ -сечения которого являются выпуклением истинных φ -сечений. В результате получаем «экономную сверху» оценку $\mathbf{G}(t)$ истинного множества прогноза.

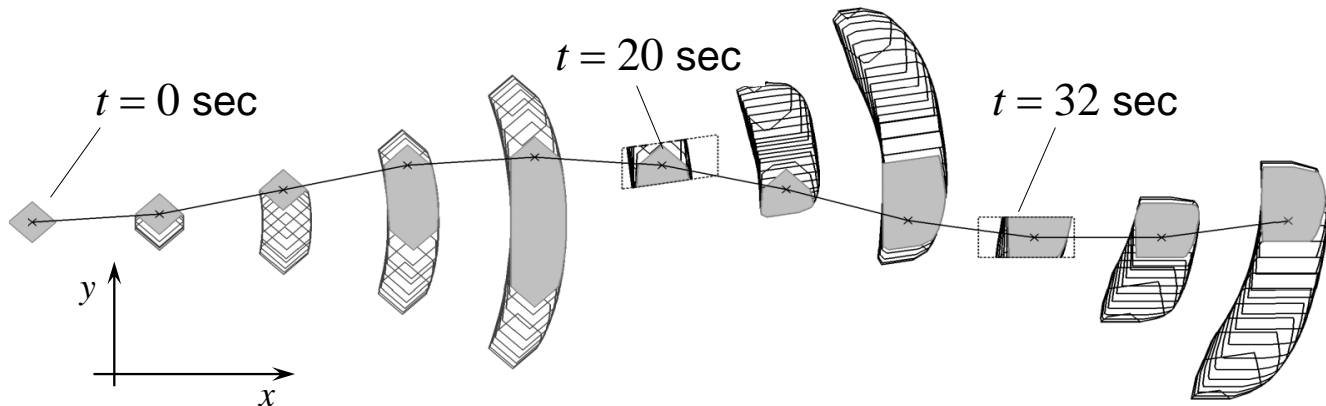
Здесь выпукление φ -сечений показано для одноточечного начального множества.

Slide 20

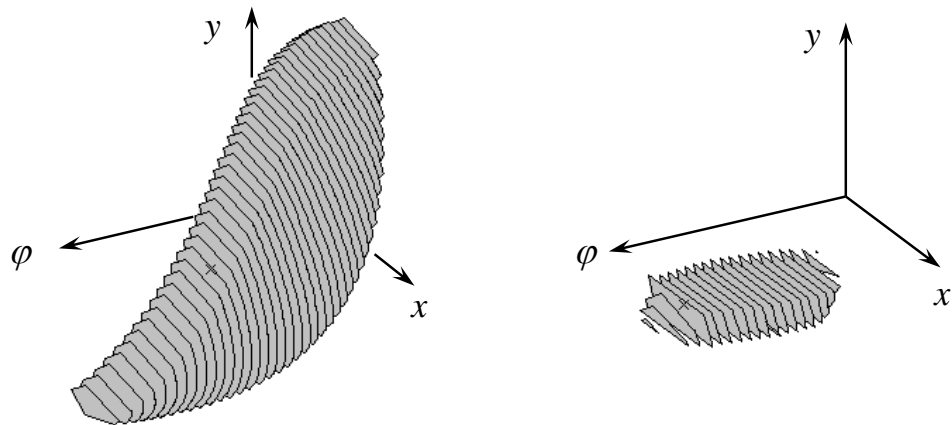
We have elaborated a special procedure for the convexification of the φ -sections of the forecast set $G(t)$. Under this, the “true” non-convex φ -sections are unknown. Nevertheless, we build an approximating set $\mathbf{G}(t)$, which has φ -sections that are convex hulls of the true φ -sections. As a result, we obtain an “economic from above” estimation $\mathbf{G}(t)$ of the true forecast set.

Here, such a convexification φ -sections of is shown for a one-point initial set.

Motion of an information set, example 1



Measurement instants: 0, 20, 32 sec



Structure of the information set at $t = 20$ sec:
Before the measurement (at the left) and after (at the right)

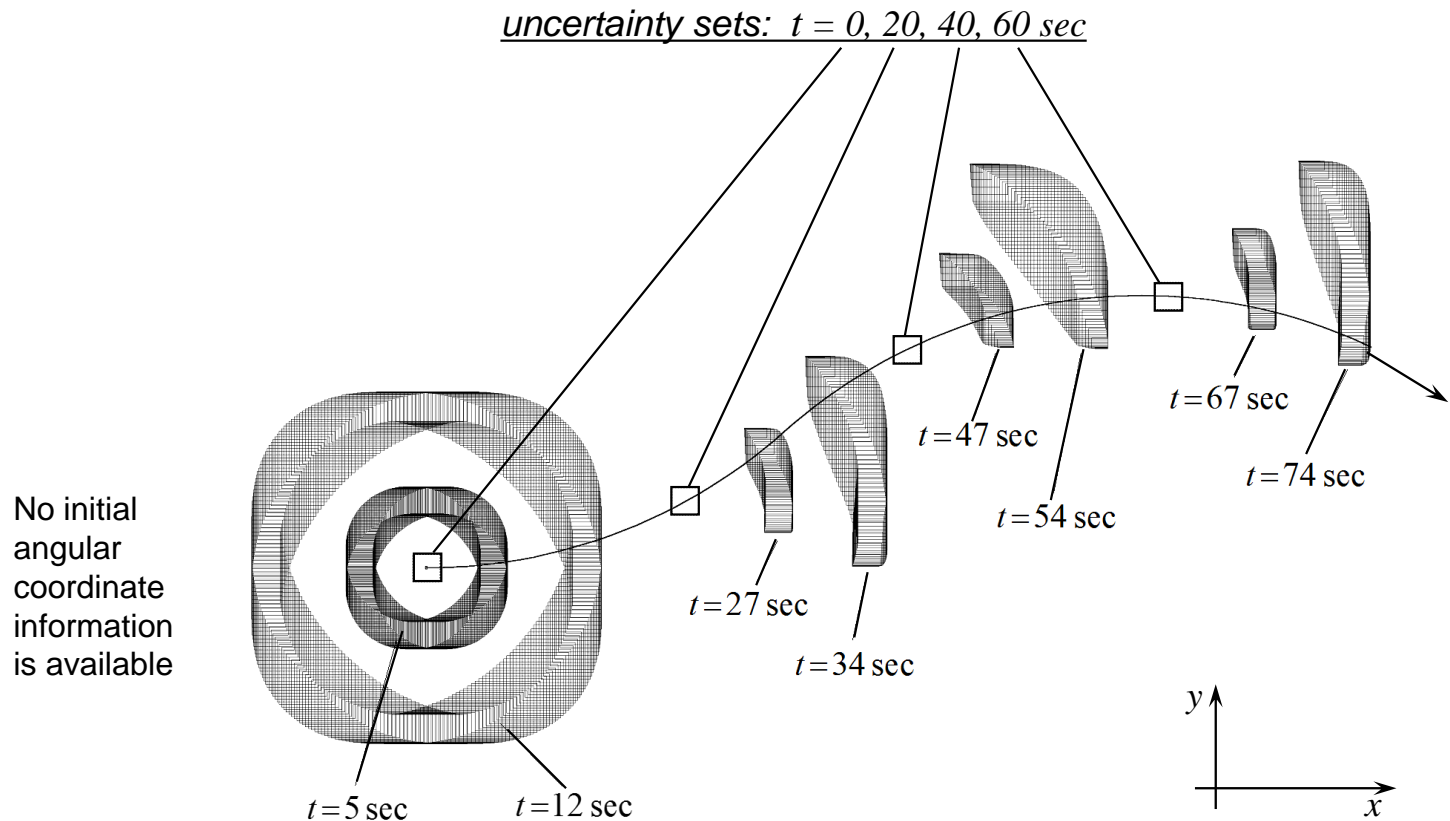
Слайд 21

На этом слайде показано движение информационного множества. Информационное множество представлено в виде φ -сечений. Пусть в начальный момент мы имеем всего одно φ -сечение. Следующий замер приходит в момент $t = 20$ с. До этого момента информационное множество растёт. Оно совпадает с текущим аппроксимирующим множеством прогноза и состоит из выпуклых φ -сечений. Множество прогноза, построенное на момент 20 с, пересекаем с множеством неопределённости. Делаем это путём пересечения соответствующих φ -сечений. Далее текущее информационное множество снова растёт. Резкое сужение его происходит в момент $t = 32$ с, когда приходит очередной замер.

Slide 21

On this slide, a motion of an information set is shown. The set is represented as a collection of its φ -sections. Let us consider the case when we have only one φ -section at the initial instant. So, we assume that the initial angle is known. The measurement comes at the instant $t = 20$ sec. Till this instant, the information set grows. It coincides with the current approximating forecast set and consists of convex φ -sections. The forecast set, which is built for the instant 20 sec, is intersected with the obtained uncertainty set. We perform this by intersection of the corresponding φ -sections. Further, the current information set grows again. Its sharp narrowing takes place at the instant $t = 32$ sec, when the next measurement comes.

Motion of an information set, example 2



Case with the φ -sections approximation by rectangles

Слайд 22

Главное отличие от предыдущего слайда в том, что здесь при овыпуклении φ -сечений мы использовали только четыре направления вдоль и против осей x, y . Начальный угол φ не известен. На интервале $(0, 20)$ с измерений нет. Информационное множество растёт. Следующие замеры происходят в моменты 20, 40, 60 с.

Slide 22

The main difference from the previous slide is in the fact that here, for convexification of the φ -sections, we used only four directions forth and back along the x, y axes. There are no measurements in the interval $(0, 20)$ sec. The information set grows. The next measurements come at the instants 20, 40, and 60 sec.

References

Dubins car :

A. Markov, R. Isaacs, L. Dubins,

E. J. Cockayne, G. W. C. Hall, T. Pecsvaradi, Yu. I. Berdyshev,
J.-P. Laumond, P. Souères, S.M. LaValle, T. Shima, P. Tsiotras, E. Bakolas, M. Pachter,
H. Choi, R.W. Beard, T.W. McLain, J. Campbell, M. Moll, L.E. Kavraki
Z. Chen, R. Takei, R. Tsai, ...

Information sets :

N.N. Krasovskii, A.I. Subbotin, A.B.Kurzhanski, M.I. Gusev, Yu.S. Osipov,
A.V. Kryazhimskiy, F.L. Chernousko, B.T. Polyak, V.M. Kuntsevich

D.P. Bertsecas, F.C. Schweppe, H.S. Witsenhausen,
M. Milanese, E. Walter, ...

Recent papers of the authors :

A.A. Fedotov, V.S. Patsko, Investigation of reachable set at instant for the Dubins' car, Proceedings of the 58th Israel Annual Conference on Aerospace Sciences, Tel-Aviv & Haifa, Israel, pp. 1655–1669, 2018.

V.S. Patsko, A.A. Fedotov, Attainability set at instant for one-side turning Dubins car, Proceedings of 17th IFAC Workshop on Control Applications of Optimization, Yekaterinburg, Russia, pp. 201–206, 2018.

Слайд 23

Литература, связанная с использованием модели Дубинса, огромна. На слайде указаны лишь некоторые авторы. Теория информационных множеств в значительной степени развивалась в Советском Союзе, но не только. В нижней части слайда указаны две последние работы авторов доклада, связанные с исследованием множеств достижимости для машины Дубинса.

Slide 23

The literature related to the Dubins model is huge. On the slide, we listed only some of the authors. The information set theory was seriously developed in the USSR and not only there. At the bottom of the slide, two our recent works are mentioned, which are concerned with the reachable sets for Dubins car.